

الخصائص البتروغرافية والجيوكيميائية لدولوميت الجوراسي الأسفل - الأوسط في رقعتي القرداحة والقديموس، السلسلة الساحلية، سوريا.

أحلام إبراهيم*

ربيع منصور**

الملخص

نفذت هذه الدراسة في وسط السلسلة الساحلية من الجمهورية العربية السورية وتحديداً في الجزء الشرقي من رقعتي القرداحة والقديموس في البروزات الصخرية العائدة لدور الجوراسي، بهدف تحديد تركيب سائل الدلمة وأصل الدولوميت في منطقة الدراسة ودرجات حرارة تشكيل بلورات الدولوميت ودرجة ترتيب بنيتها البلورية، وذلك نظراً لأهمية عملية الدلمة ودورها في بلورات التاريخ الدياجينيزي في المنطقة. تم رفع مقطعين جيولوجيين في توضعات الجوراسي الأسفل - الأوسط، الأول في قرية شطحة شمال رقعة القرداحة والثاني في قرية رام ترزة في رقعة القديموس. جمعت عينات صخرية من هذه التوضعات. جهزت 40 شريحة مجهرية لدراستها تحت المجهر الاستقطابي، وتحديد تركيبها البتروغرافي ومورفولوجية بلورات الدولوميت، كما تم القيام بتحليل SEM (الماسح الإلكتروني المجهر) وتحليل EDX (تحليل نقطي) لـ 10 عينات نموذجية من كلا المقطعين بهدف معرفة محتوى العناصر الرئيسية والأثر وبعض العناصر التراويبية النادرة (REE). بينت الدراسة المجهرية أن معظم بلورات الدولوميت ذات نسيج غير مستوي كما بينت أيضاً وجود نطاق دولوميتي ونطاق كالسيتي ونطاق دولوميتي كلسي حول بعض بلورات الدولوميت تشكلت هذه النطاقات نتيجة اختلاف النسبة Ca/Mg في سوائل الدلمة وبينت الدراسة الجيوكيميائية أن الدولوميت في

*أستاذ دكتور - قسم الجيولوجيا - كلية العلوم - جامعة اللاذقية - سوريا.

** طالب دكتوراه - قسم الجيولوجيا - كلية العلوم - جامعة اللاذقية - سوريا.

منطقة الدراسة من أصل مستبدل نتيجة علاقة الارتباط السالبة بين عنصري الكالسيوم والمنجنيزيوم كما بينت أيضًا أن بلورات الدولوميت ذات درجة ترتيب عالية (دولوميت نموذجي) وذلك تبعًا للنسبة اللوغاريتمية لعنصري الكالسيوم والمنجنيزيوم وتبيّن أيضًا من خلال علاقة الارتباط الموجبة بين عنصري البوتاسيوم والألمانيوم وارتفاع نسبة الهولميوم مقارنة مع الإيتيريوم إلى تداخل المواد الحطامية في الصخور الكريوناتية.

الكلمات المفتاحية: القرداحة، القدموس، جوراسي، هولميوم، إيتيريوم، نطاق دولوميتي.

Petrographic and Geochemical characteristics of Lower - Middle Jurassic dolomite in the AL-Querdaha and AL-Qadmous Sheets, Coastal Chain, Syria

Dr. Ahlam Ibrahim*

Rabea Mansour**

Abstract

This study was realized in the middle of the coastal chain of the Syrian Arab Republic, specifically in the eastern part of the AL Querdaha and Qadmous Sheets in the Jurassic , we aimed to determine the composition of the dolomite fluid, the origin of the dolomite in the studied, the temperatures of dolomite crystal formation, and the degree of arrangement of their crystal structure, due to the importance of the dolomite process and its role in understanding the diagenetic history of the region. two geological sections were raised in the Lower - Middle Jurassic deposits, the first section is located in the village of Shatha north of the Querdaha Sheet, and the second is located in the village of Ram Tarzah in the Qadmous Sheet. Rock samples were collected from these deposits. we prepared 40 thin section to determine their petrographic composition and the morphology of the dolomite crystals. SEM (scanning electron microscope) and EDX (Point analysis) were also performed for 10 typical samples from both sections in order to know the content of the main and trace elements and some rare earth elements (REE). The microscopic study showed that most of the dolomite crystals have a non-plane texture. It also showed the presence of a dolomite zone, a calcite zone, and a calcite dolomite zone around some of the dolomite crystals. These zones were formed as a result of the difference

* Professor, Department of geology, Faculty of Science, Tishreen University,
Syria.

**Postgraduates, Department of geology, Faculty of Science, Tishreen University,
Syria.

in the Ca/Mg ratio in the dolomitization fluids. The geochemical study showed that the dolomite in the study area is of a replaced origin as a result of the negative correlation between the elements calcium and magnesium. It also showed that the dolomite crystals have a high degree of order (typical dolomite) according to the logarithmic ratio of the elements calcium and magnesium. It was also shown through the positive correlation between the elements potassium and aluminum and the high percentage of holmium compared to yttrium to the interference of debris materials in the carbonate rocks.

Key Words: AL-Querdaha. AL-Qadmous. Jurassie Holmium. Yttrium. Dolomite zone.

مقدمة:

ظل تشكّل الدولوميت مشكلة محيرة للجيولوجيين على مدى 200 عام، حيث تم تقديم العديد من نماذج الدلمة كنموذج السبخات، الارتجاع-انحسار، التبخر، تداخل المياه والتغير المكروبي[6] [5] [4] [3] [2] [1].....الخ وقد فشلت بعض النماذج المقدمة في تفسير عملية الدلمة.

يوجد عدة معايير يجب أن يحققها النموذج لكي يتم اعتماده كنموذج للدلمة [7]:

- ترموديناميكياً: بالنسبة للدولوميت المتشكل بالترسيب المباشر من مياه البحر، يجب أن يتتوفر فوق إشباع بالدولوميت وإشباع متباين فيما يتعلق بالكلسيت والأرغونيت، أما بالنسبة للدولوميت المستبدل فيجب أن يتتوفر تحت إشباع بالكريونات وإلا سوف يتشكل ملاط الدولوميت.
- حركياً: يجب أن يكون معدل تشكّل بلورات الدولوميت مساوياً أو أكبر من معدل انحلال كريونات الكالسيوم وإلا سوف تتشكل مسامية انحلال واسعة قد تصل إلى مقياس الكارست.
- هيدرولوجياً: يجب أن يكون تدفق سوائل المسام مستمراً لفترات طويلة الأمد وذو محتوى عالي من المغذّيّات.

تعدّ الخصائص البتروغرافية والجيوكيميائية للدولوميت عامل رئيس في تحديد نموذج الدلمة، أهم ما يميز الدولوميت من الناحية البتروغرافية هو تشكّل نطاقات حول البلورات. تمت دراسة النطاقات حول بلورات الدولوميت والآليات التي شكلتها من قبل عدد كبير من الباحثين حيث يمكن أن تتشكل نطاقات الدولوميت نتيجة لفرط النمو حول بلورات الدولوميت والناتج عن استمرار تدفق سوائل الدلمة [1] ويمكن أن تتشكل كنتيجة لاختلاف في تركيب سائل

الدلتة، فتوجد نطاقات متنوعة حول بلورات الدولوميت كالنطاق الدولوميت الكلسي، الدولوميتي الحديدي، الكالسيتي والنطاق الهيماتيتي [8] [9].

يحتوي الدولوميت على مجموعة من الأكسيدات الرئيسية، وبشكل أساسي أكسيد الكالسيوم والمنجنيزيوم (MgO , CaO) إضافة لمجموعة من الأكسيدات الأخرى كأكسيد الصوديوم، الحديد، الألمنيوم والبوتاسيوم.

يمكن أن تعكس التغيرات في محتويات MgO و CaO نوع ودرجة الدلتة [10] [11] حيث إن معظم الدولوميت في الطبيعة لديه فائض من الكالسيوم ويعادله عجز في المنجنيزيوم، بالإضافة إلى ترتيب متالي أقل [12] [7] يمكن أن تكون علاقة الارتباط بين أكسيد الكالسيوم وأكسيد المنجنيزيوم موجبة أو سالبة، حيث تشير العلاقة الموجبة إلى أن الدولوميت تشكل بالترسيب المباشر، في حين تشير العلاقة السالبة إلى أن الدولوميت تشكل نتيجة لاستبدال شوارد الكالسيوم في الكالسيت بشوارد المنجنيزيوم في سوائل الدلتة، بعد فترة من توضع الرسوبيات [13] [11] [14].

على المستوى المحلي أجريت دراسة بتروغرافية وجيوكيميائية لظاهرة الدلتة في صخور الجوراسي الأوسط في رقعة القرادحة خلصت الدراسة إلى أن الدلتة تتبع نموذج الارتجاع-انحسار وأن سائل الدلتة يتجه من شمال منطقة الدراسة باتجاه الجنوب كما بينت أيضاً أن بلورات الدولوميت ذات نسيج مستوى [15].

أهمية البحث وأهدافه:

تتجلى أهمية البحث في فهم منشأ الدولوميت اعتماداً على الخصائص البتروغرافية ومحفوظ العناصر الرئيسية والأثر في الصخور الدولوميتية.

يهدف البحث إلى:

1. تحديد تركيب سائل الدلمة دولوميت الجوراسي الأسفل-الأوسط في رقعتي القرداحة والقدموس.
2. تحديد أصل دولوميت الجوراسي الأسفل-الأوسط في رقعتي القرداحة والقدموس، ودرجات حرارة تشكل بلوراته، ودرجة ترتيب بنائه البلورية.

طريقة العمل:

تم القيام بخمس جولات حقلية لمنطقة الدراسة، ورفع مقطعين جيولوجييين في توضعات الجوراسي الأدنى، وأخذت عينات صخرية من هذه التوضعات. تم تجهيز 40 شريحة مجهرية من العينات الصخرية باستخدام جهاز القطع الموجود في قسم الجيولوجيا بجامعة تشرين، بغية دراستها تحت المجهر الاستقطابي (SCO-35). تم استخدام المجهر الإلكتروني الماسح (VEGA\XMU) الموجود في هيئة الطاقة الذرية في دمشق بغية تصوير عروق الانحلال والنطاقات حول بلورات الدولوميت، كما تم تحليل EDX (مطيافية تشتت الطاقة بالأشعة السينية) لـ 10 عينات نموذجية من كلا المقطعين، وذلك لتحديد محتواها من العناصر الرئيسية والأثر، باستخدام المجهر الإلكتروني.

الإطار الجيولوجي العام لمنطقة الدراسة:

تقع منطقة الدراسة في وسط السلسلة الساحلية وتحديداً في الجزء الشرقي من رقعتي القرداحة والقدموس في البروزات الصخرية العائدة دور الجوراسي.

تقع رقعة القرداحة بين الإحداثيات التالية:

E: 36°15'00" E: 36°00'00"

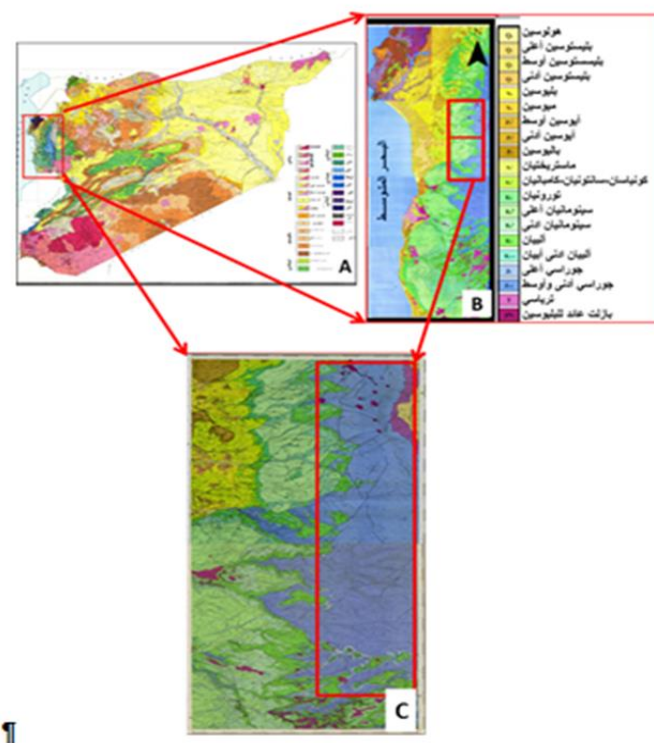
N: 35°30'00" N: 35°15'00"

وتقع رقعة القدموس بين الإحداثيات التالية:

E: 36°15'00" E: 36°00'00"

N: 35°15'00" N: 35° 00'00"

يتكشف الجوراسي، من الناحية الستراتغرافية، بشكل واسع في السلسلة الساحلية وتكون توضعاته كربوناتية بشكل عام (صخور كلسية ودولوميتية)، وقد تم تقسيمه إلى خمس تشكيلات نموذجية هي: 1-تشكيله الطريز، 2- تشكيله العيون، 3- تشكيله المشتى، 4- تشكيله وادي العيون، 5- تشكيله الناصرة [16] الشكل (1).



الشكل (1) موقع منطقة الدراسة بالنسبة للسلسلة الساحلية والجمهورية العربية السورية.

A-الخارطة الجيولوجية السورية بمقاييس 1/100000 [17] B-الخارطة الجيولوجية للسلسلة الساحلية بمقاييس 1/50000 [21] [20] [19] [18] .[22]

C-الخارطة الجيولوجية لرقة والقداحه والقدموين بمقاييس 1\50000 [19] [21]

النتائج والمناقشة:

العمل الحقلـي:

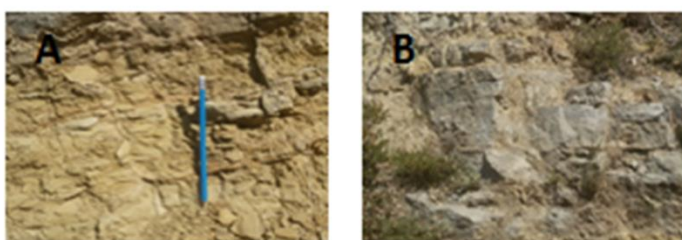
تم رفع مقطعين جيولوجيـين من خلال الجولات الحقلـية في توضـعات الجوراسي الأدنـى،
يقـع المقطع الأول شمال منطقة الـدراسة (قرية شـطحة، رـقعة القردـاحـة) بين الإـحداثـيات

التـالية:

$35^{\circ} 29' 14.7''$ N $35^{\circ} 28' 51.51''$ N

$36^{\circ} 13' 52.72''$ E $36^{\circ} 13' 51.21''$ E

أـخذ من هذا المقطع 15 عـينة صـخـرـية، يـبدأ المـقطع بـسوـيات مـارـنـيـة بـسـماـكـة 10 مـتر
يـعلـوـها تـطـبـقـات مـتـرـيـة مـن الـحـجـر الـكـلـسـي المـدلـمـتـ الشـكـل (3).



الـشـكـل (3) A صـورـة حـقـلـية لـسـوـيـات الـمـارـنـيـة. B صـورـة حـقـلـية لـتـطـبـقـات الـحـجـر الـكـلـسـي المـدلـمـتـ.

يقـع المـقطع الـثـانـي جـنـوب مـنـطـقـة الـدـرـاسـة (قرـية رـام تـرـزـة، رـقـعة الـقـدـمـوسـ) بين الإـحداثـيات
التـالية:

$35^{\circ} 10' 40,91''$ N $35^{\circ} 10' 46,82''$ N

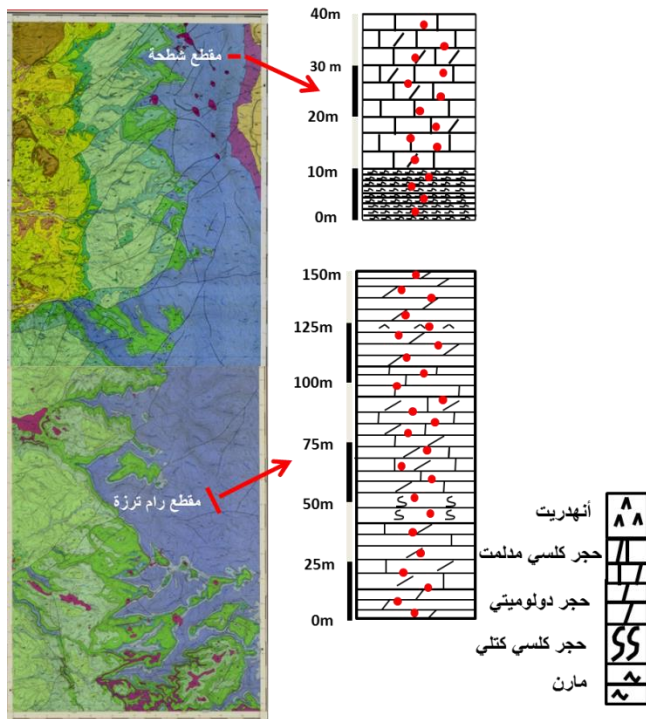
$36^{\circ} 12' 52,99''$ E $36^{\circ} 12' 51,09''$ E

أـخذ من هذا المـقطع 25 عـينة صـخـرـية، يـبدأ المـقطع بـتـطـبـقـات مـتـرـيـة مـن الـحـجـر الـدـولـومـيـتي
بـسـماـكـة 45 مـ يـعلـوـها تـوضـعـات مـن الـحـجـر الـكـلـسـي الـكـنـتـي بـسـماـكـة 10 مـ الشـكـل (4)



الشكل (4) صور حقلية لبعض الأجزاء من مقطع رام ترزة A يظهر فيها تطبيقات متربة من الحجر الكلسي المدلمنت، B يظهر فيها توضيعات من الحجر الكلسي الكتلي.

يعلوها توضيعات غير واضحة التطبق من الحجر الكلسي المدلمنت جزئياً بسماكه 40م يتوضع فوقها طبقات من الحجر الكلسي الطري بسماكه 15م وينتهي المقطع بطبقات ذات لون رمادي من الحجر الكلسي المدلمنت بسماكه 40م يتخللها طبقة من الانهدريت بسماكه 1م، الشكل (2).



الشكل (2) خارطة جيولوجية لمنطقة الدراسة ممثل عليها عمودين جيولوجيين لمقاطع شطحة (مقاييس 1/1000) ورام ترزة (مقاييس 1/2500). تشير النقاط الحمراء في كلا المقاطعين إلى موقعأخذ العينات الصخرية.

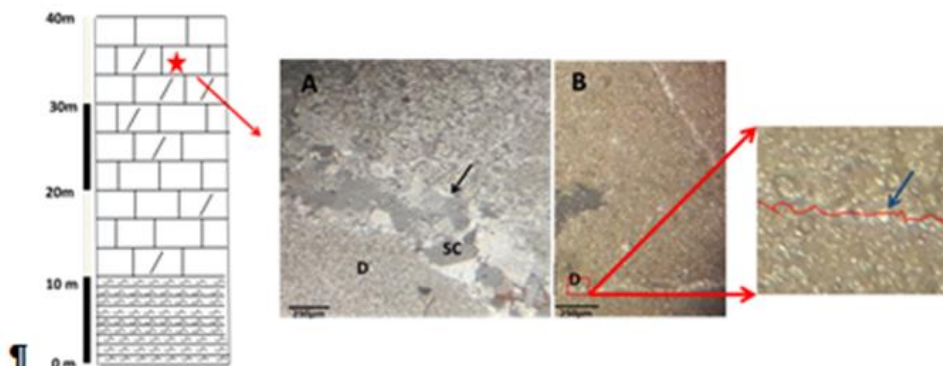
العمل المخبري:

الدراسة المجهرية :

ركزت الدراسة المجهرية على العينات الدولوميتية فقط تقيداً بأهداف هذا البحث.

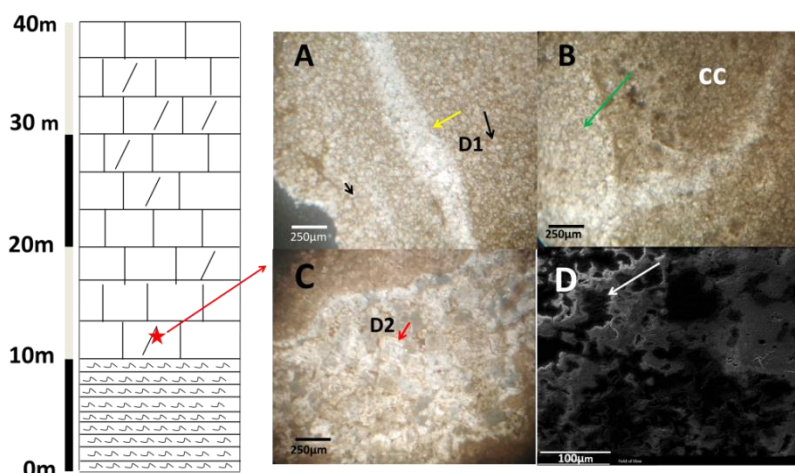
مقطع شطحة:

بيّنت الدراسة المجهرية لـ 5 عينات دولوميتية مأخوذة من هذا المقطع وجود بلورات من الدولوميت خفي التبلور (دولوميكريت) بلوراته ذات نسيج مستوي ووجوه بلورية مكتملة، تشكّل في بيئات الدياجينيز السطحية ذلك لكون بلوراته مقطوعة بالستيلوليت ضعيف السعة وبالتالي فهو سابق لتشكل الستيلوليت المتشكل خلال دياجينيز الدفن الضحل كما يلاحظ عروق انحلال مملوءة ببلورات من السباريت الشكل (3).



الشكل (3) صورة مجهرية تحت المهر الاستقطابي. A. يظهر فيها بلورات من الدولومكريت (D) كما يلاحظ فيها عرق انحلال (السهم الأسود) مملوء ببلورات من السباريت (SC). B. يظهر فيها تأثر بعض بلورات الدولومكريت بالستيلوليت ضعيف السعة (السهم الأزرق)

كما بينت الدراسة المجهرية وجود بلورات من الدولوميت ذات نسيج غير مستوي ووجود بلورية غير مكتملة إضافة إلى نسبة قليلة من بلورات الدولوميت ذات نسيج مستوي ووجود بلورية مكتملة ضمن ارضية من الغضار المكريتي ويلاحظ أيضاً وجود عروق انحلال حاوية على بلورات من الكالسيت. تشكلت عروق الانحلال نتيجة الانضغاط الأولي للرواسب خالل الدياجينيز متوسط العمق الشكل (4).



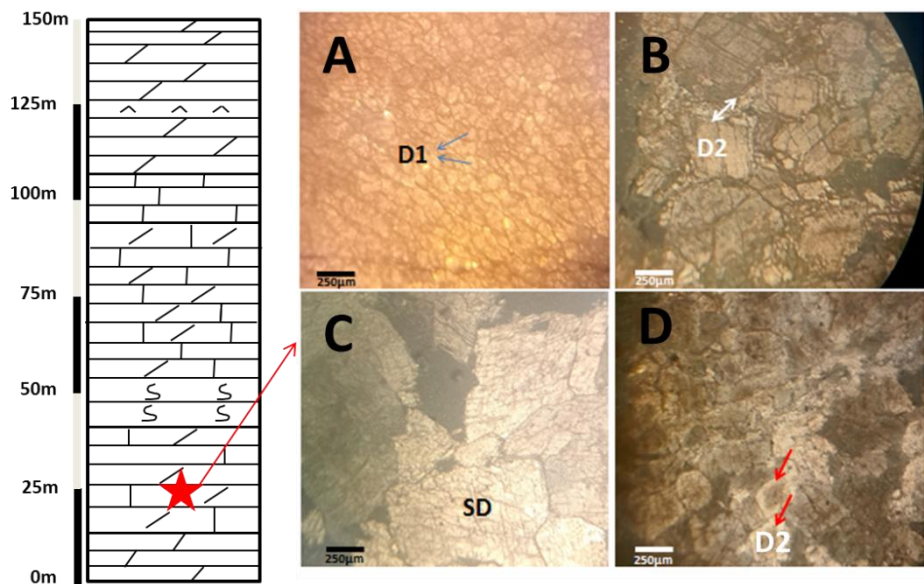
الشكل (4) صور مجهرية لبعض العينات النموذجية المأخوذة من مقطع شطحة. A. يظهر فيها بلورات من الدولوميت الأولي D1 ذات نسيج غير مستوي ووجود بلورية غير مكتملة (السهم الأسود) إضافة إلى وجود عروق

انحلال حاوية على بلورات من الكالسيت (السهم الأصفر)، B يلاحظ وجود ملاط غضاري جامع لبلورات الدولوميت (CC) ويلاحظ حوادث إعادة تبلور وانحلال واسعة النطاق تمت من خلال العروق (السهم الأخضر)، يظهر في الشريحة C نطاقات حول بلورة الدولوميت الثاني D2، D صورة (SEM) بالمجهر الإلكتروني الماسح للشريحة B يلاحظ فيها تآكل وانحلال لنسيج الدولوميت.

ويلاحظ حوداث إعادة تبلور واسعة النطاق تمت من خلال هذه العروق الشكل (4B,C) أدت حوادث إعادة التبلور إلى زيادة في حجم بلورات الدولوميت الأولي الشكل (4A) وانتاج بلورات الدولوميت الثاني الشكل (4C).

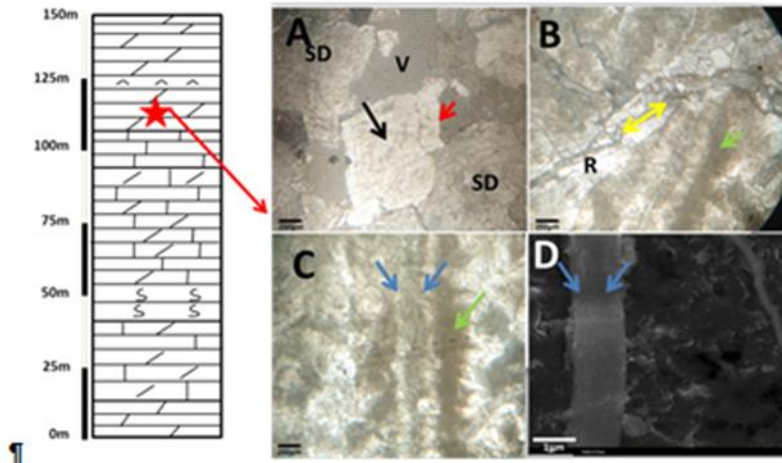
مقطع رام ترزة:

بيّنت الدراسة المجهرية لـ 8 عينات مأخوذة من هذا المقطع وجود ثلاث أنواع من بلورات الدولوميت النوع الأول : دولوميت أولي ذو نسيج غير مستوي ووجوه بلورية غير مكتملة ، النوع الثاني: دولوميت ثانوي أكبر حجما من النوع الأول ناتج عن إعادة تبلور لبلورات الدولوميت الأولي خلال الدياجينيز متوسط العمق، النوع الثالث: دولوميت ملاطي تكون بلوراته كبيرة الحجم وذو نسيج غير مستوي تتشكل في درجات حرارة أكبر من 80 درجة مئوية خلال دياجينيز الدفن العميق تم التعرف عليه من خلال التعتميم التماوخي الشكل (5).



الشكل (5) صورة مجهرية تحت المجهر الاستقطابي لبعض العينات المأخوذة من مقطع رام ترزة A يهر فيها بلورات من الدولوميت الأولي (D1). B يظهر فيها بلورات من الدولوميت الثانوي (D2) ويحيط فيها نطاق كالسيتي (السهم الأبيض). C يظهر فيها دولوميت ملاطي (SD). يلاحظ فيها تأكل للنطاق الكالسيتي (السهم الأحمر) حول بلورات الدولوميت الثنائي.

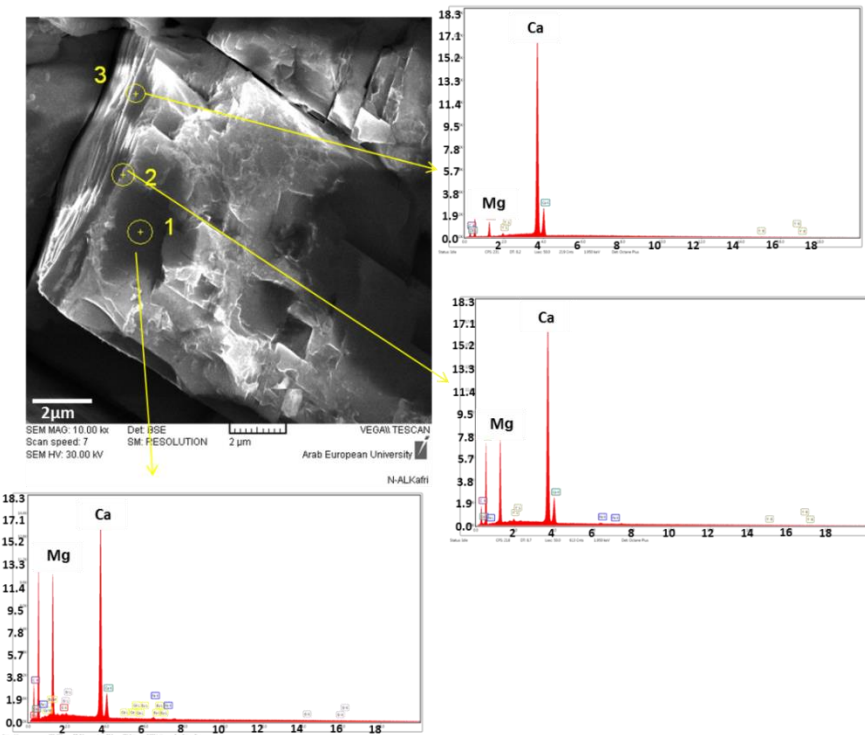
كما بينت الدراسة أيضاً وجود عروق انحلال حاوية على بلورات من الكالسيت ويوجد نطاقات متعددة حول بلورات الدولوميت كما يلاحظ تشربات هيدروكربوناتية في عروق الانحلال (تم التعرف عليها لكونها عاتمة مع ومن دون محلل وأيضاً من خلال تعریض عينة اليد للحرارة فانبعثت منها رائحة تشبه الاسفلت) ويلاحظ أيضاً وجود دولوميت ملاطي وشق مجيري أثر على بلورات الدولوميت وأدى إلى حدوث إعادة تبلور لبعض بلورات الدولوميت الشكل (6).



الشكل (6) صور مجهرية لبعض العينات المأخوذة من مقطع رام ترزة. A يظهر فيها بلورة من الدولوميت كبيرة الحجم ذات نسيج غير مستوي (السهم الأسود) ويلاحظ آثار من التآكل على حافة البلورة (السهم الأحمر) كما يلاحظ أيضاً وجود دولوميت ملاطي (SD). B يلاحظ وجود فالق مجهرى أثر على البلورات (السهم الأصفر) كما يلاحظ آثار من إعادة التبلور على طول الفالق (R) ويلاحظ أيضاً تشربات هيروكربوناتية (السهم الأخضر) على حافة عروق الانحلال (السهم الأزرق) في الشريحة C. D صورة بالمجهر الإلكتروني الماسح (SEM) لعروق الانحلال.

بيّنت الدراسة المجهرية أن بلورات الدولوميت في توضّعات الجوراسي الأدنى في السلسلة الساحلية من كلا المقطعين يغلب عليها النسيج غير المستوي مما يشير إلى تشكّلها في درجات حرارة أكبر من 60 درجة مئوية خلال دياجينيز متوسّط العمق كما يشير وجود نطاقات حول بلورات الدولوميت (الشكل 5B) إلى وجود عدة مراحل من الدلمنة. تم تصوير هذه النطاقات بالمجهر الإلكتروني الماسح وتبيّن من خلالها أن بلورة الدولوميت المركزية ذات نسيج مستوي، مما يشير إلى تشكّلها بالقرب من السطح في درجات الحرارة المنخفضة، أما النطاق الثاني فيكون غير منظم مما يشير إلى أنه كالسيتي لكون الكالسيت متعدد الأشكال البلورية ولا يوجد بشكل معيني، النطاق الثالث يكون منظم جزئياً مما يعني أنه ذو طبيعة دولوميتية (دولوميت كلسي) والتحاليل الجيوكيميائية لهذه النطاقات تدعم هذا التفسير حيث بلغت نسبة المغذنيزيوم في النطاقات من الداخل إلى الخارج 8.17 (10.76-2.02) بالترتيب، وبالتالي فإن محاليل الدلمنة التي شكلت النطاق الأول كانت غنية

بالمغنيزيوم ثم بعد ذلك حدث تخفيف لمحاليل الدلتة بسوائل بحرية عادية أدت إلى تشكيل النطاق الكالسيتي ثم بعد ذلك حدث إغناه نسبي لمحاليل الدلتة بالمغنيزيوم أدت إلى تشكيل النطاق الدولوميتي الكلسي الشكل (6).



الشكل (6) صورة بالمجهر الإلكتروني الماسح (SEM) لبلورة الدولوميت موضح محتوى المغنيزيوم والكالسيوم لكل نطاق تشير الأرقام 1 إلى 3 إلى المناطق التي اسقطت عليها حزمة الالكترونات.

الدراسة الجيوكيميائية:

تم إجراء تحليل نقطي بتقنية الـ (EDX) لبعض العينات النموذجية المأخوذة من مقطع شطحة ورام ترزة بهدف تحديد نسبة العناصر الكيميائية في العينات.
مقطع شطحة:

بيّنت الدراسة الجيوكيميائية للعينات المأخوذة من هذا المقطع أن نسبة المغنيزيوم في الجزء المدلّم تتراوح بين % (8.71-5.81) وبشكل وسطي (7.47%) وفي الجزء غير المدلّم تتراوح بين % (0.27-0.4) وبشكل وسطي (0.33%) وتتراوح نسبة الكالسيوم في الجزء المدلّم % (49.3-67.13) وبشكل وسطي (58.75%) وفي الجزء غير المدلّم تتراوح بين % (64.72-77.67) ونسبة الألمنيوم في الجزء المدلّم تتراوح بين % (0.02-0.4) وبشكل وسطي (0.16%) وفي الجزء غير المدلّم تتراوح بين % (0.04-0.09) وبشكل وسطي (0.06%) وتتراوح نسبة السليسيوم في الجزء المدلّم بين % (0.06-1.26) وبشكل وسطي (0.38%) وفي الجزء غير المدلّم تتراوح بين % (0.01-0.09) وبشكل وسطي (0.05%) كما بيّنت أيضاً نسبة بعض العناصر الترابية التارة والعناصر الأثثر موضحة في الجدول 1.

جدول 1: يوضح نسبة العناصر الرئيسية وبعض العناصر الأثر والتراوية النادرة في العينات المأخوذة من مقطع شطحة، تشير الأرقام في الدوائر الحمراء إلى عدد النقاط التي تم فيها إجراء تحليل EDX في العينة الواحدة.

الجزء	رمز العينة	Weight%									
		Ca	Mg	Al	Si	Y	Ho	K	C	O	
جزء المدلتم	Jb-P1 ①	58.09	8.27	0.11	0.09	0.25	2.24	-	2.9	29.19	
	Jb-P2 ①	49.83	7.15	-	-	0.12	0.19	-	5.17	35.83	
	Jb-P2 ②	49.3	8.73	0.04	0.06	0.11	0.28	-	4.14	36.06	
	Jb-P5 ①	60.24	7.72	0.05	0.12	-	0.09	-	2.49	28.4	
	Jb-P5 ②	60.19	6.73	0.39	1.26	-	0.33	0.5	2.11	26.6	
	Jb-P5 ③	63.34	6.56	0.29	0.76	-	0.12	0.32	1.99	24.93	
	Jb-P6 ①	59.68	7.86	0.08	0.35	0.12	0.15	0.25	2.28	27.96	
	Jb-P6 ②	57.83	8.68	-	0.06	0.12	0.21	-	2.64	30.06	
	Jb-P14 ①	61.94	6.72	0.25	0.78	0.08	0.17	0.3	1.93	25.2	
	Jb-P14 ②	67.13	5.85	0.18	0.59	0.1	0.14	0.22	1.48	22.88	
جزء غير المدلتم	Jb -P1 ②	77.76	0.41	0.09	0.03	0.22	0.13	-	2.06	18.93	
	Jb-P2 ④	64.72	0.28	0.08	-	0.18	0.19	-	3.96	28.26	

مقطع رام ترزة:

بيّنت الدراسة الجيوكيميائية للعينات المأخوذة من هذا المقطع أن نسبة المغنيزيوم في الجزء المدلتم تتراوح بين (6.58-10.67) وبشكل وسطي (8.37) وفي الجزء غير المدلتم تتراوح بين (0.44-2.72) وبشكل وسطي (1.55) ونسبة الكالسيوم في الجزء المدلتم تتراوح بين (43.16-65.73) وبشكل وسطي (54.85) وفي الجزء غير المدلتم تتراوح بين (67.24-79.83) وبشكل وسطي (71.49) ونسبة الألمنيوم في الجزء المدلتم تتراوح بين (0.01-0.03) وبشكل وسطي (0.013%) وفي الجزء غير المدلتم تتراوح

بين 0.07-0.1% (0.083%) وبشكل وسطي (0.07%) ونسبة السليسيوم في الجزء الملمتم تتراوح بين 0.06-0.52% (0.198%) وبشكل وسطي (0.06%) ونسبة السليسيوم في الجزء غير الملمتم تتراوح بين 0.11-0.17% (0.15%) كما بينت أيضاً نسبة بعض العناصر الترابية النارة والعناصر الأثر موضحة في الجدول 2.

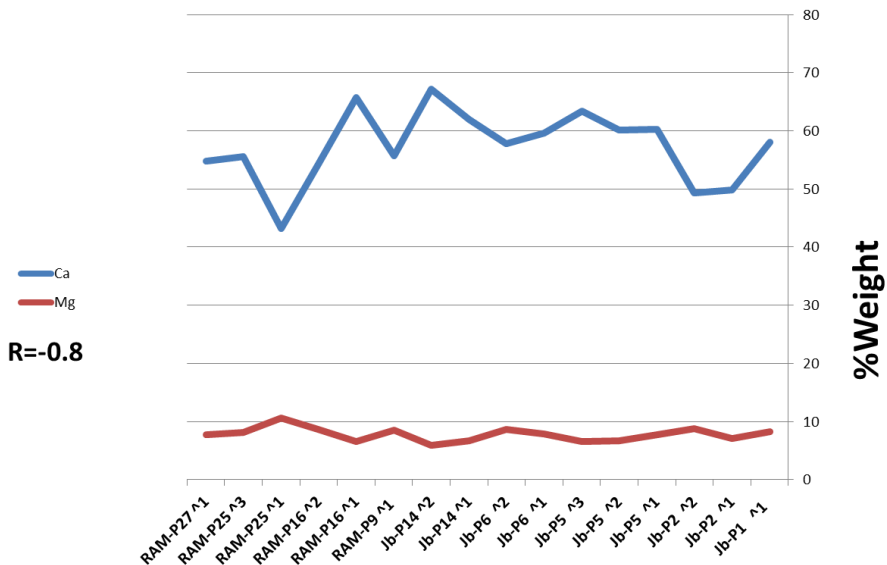
جدول 2: يوضح نسبة العناصر الرئيسية وبعض العناصر الأثر والتربوية النادرة في العينات المأخوذة من مقطع رام ترزة، تشير الأرقام في الدوائر الحمراء إلى عدد النقاط التي تم فيها إجراء تحليل EDX في العينة الواحدة.

الجزء	رمز العينة	Weight%									
		Ca	Mg	Al	Si	S	Y	Ho	C	O	
جزء 1: الملمتم	RAM-P9 ^①	55.76	8.49	0.01	0.18	-	0.13	0.15	3.15	31.95	
	RAM-P16 ^①	65.73	6.58	0.03	0.15	0.1	-	1.29	2.12	24	
	RAM-P16 ^②	54.21	8.63	-	0.52	-	-	0.26	3.4	31.93	
	RAM-P25 ^①	43.16	10.67	-	0.06	-	-	1.05	5.14	37.61	
	RAM-P25 ^③	55.53	8.17	-	-	-	0.1	0.51	3.18	30.99	
	RAM-P27 ^①	54.73	7.7	0.02	0.08	0.07	0.12	0.19	3.06	33.77	
جزء 2: الملمتم	RAM-P9 ^②	68.04	0.44	0.08	0.17	0.13	0.2	0.97	2.58	23.79	
	RAM-P12 ^①	74.23	1.01	0.1	0.17	0.14	0.22	0.37	2.02	19.26	
	RAM-P12 ^②	67.24	1.56	-	0.11	-	0.11	0.11	3.68	25.36	
	RAM-P25 ^②	79.83	2.02	-	-	-	0.08	0.46	1.17	15.51	
	RAM-P27 ^②	68.11	2.72	0.07	-	0.18	0.24	0.23	3.24	24.92	

تم إجراء التحليل النقطي للعينات في كلا المقطعين على النحو التالي: تمأخذ نقطة في الأرضية ونقطة في عرق الانحلال وتبيّن من خلال ذلك أن جميع الأجزاء غير الملمتمة كانت في عروق الانحلال والازاء الملمتمه في الأرضية

يظهر الشكل (7) علاقة ارتباط قوية بالاتجاه السالب (معامل الارتباط -0.8) بين عنصري الكالسيوم والمغنيزيوم في الجزء الملمتم من كلا المقطعين في منطقة الدراسة تشير علاقة

الارتباط السلبية إلى أن الدولوميت تشكل بعد فترة من توضع الرسوبيات [13] [11] [14] يقصد بالارتباط السلبي: العلاقة العكسية بين عنصري الكالسيوم والمغنيزيوم ويفسر ذلك بأنه مع زيادة المغنيزيوم تتحفظ نسبة الكالسيوم بشدة وذلك نتيجة لاستبدال الكالسيوم بالمغنيزيوم خلال عملية الدلمنة في حال لو كان الارتباط موجب يشير ذلك إلى أن الدولوميت تشكل بالترسيب المباشر من مياه البحر وهي عملية نادرة الحدوث في الطبيعة لكون الدولوميت ذو بنية بلورية مرتبة مؤلفة من طبقات من الكالسيوم وطبقات من المغنيزيوم مفصولة بجزر الكريونات وهذا الترتيب يحتاج إلى أوساط خالية من الاضطرابات الأمر الذي لا يتوفّر في الأوساط البحريّة



الشكل (7) الارتباط بين عنصري الكالسيوم والمغنيزيوم في الجزء المدلمن من صخور الجوراسي الأدنى في منطقة الدراسة.

إن النسبة Mg/Ca تعتبر من المعاملات الهامة في تحديد بيئات الدياجينيز التي تشكل فيها الدولوميت [14] وكذلك في تحديد طبيعة بلورات الدولوميت المتشكلة من حيث درجة ترتيب البنية البلورية كما في مخطط الاستقرار термодинамический الذي يبين النسبة اللوغاريتمية

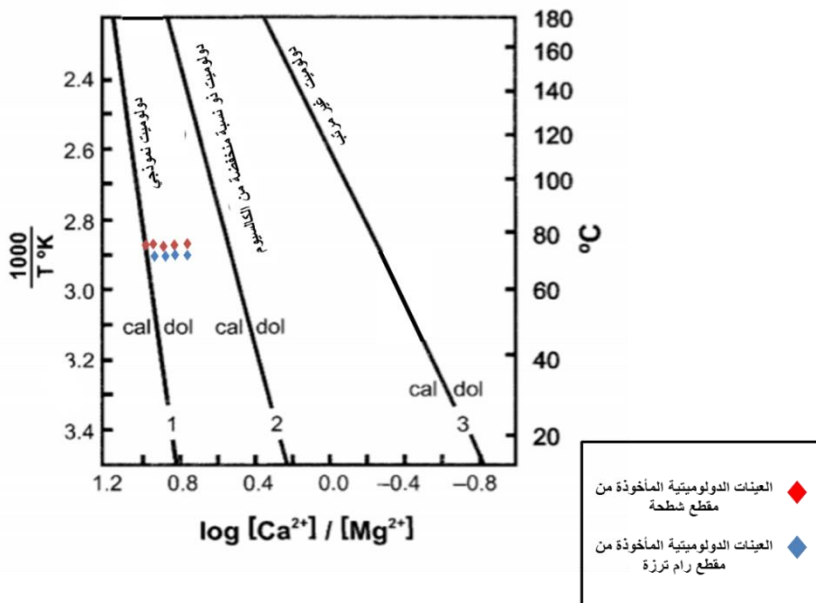
لـ Mg/Ca مقابل درجة حرارة تشكل الدولوميت الشكل (8) [23] حيث يظهر فيه ثلاثة خطوط من اليسار إلى اليمين:

1- كالسيت _ دولوميت نموذجي.

2- كالسيت _ دولوميت مرتب مع نسبة منخفضة من الكالسيوم.

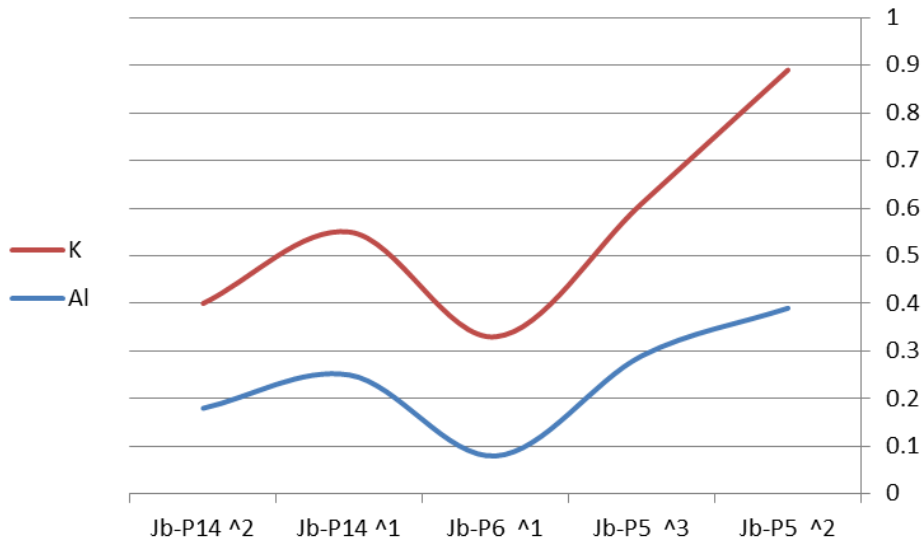
3- كالسيت _ دولوميت أولي (غير مرتب).

إن درجة حرارة تشكل الدولوميت في منطقة الدراسة هي من $60-80^{\circ}C$ وذلك كون بلورات الدولوميت ذات نسيج غير مستوي (حافة البلورة منحنية) [24] تم اسقاط العينات على المخطط وتبيّن أن الدولوميت الموجود في منطقة الدراسة هو دولوميت نموذجي يملك فصل واضح لطبقات الكالسيوم عن طبقات المغنيزيوم في بنائه البلوري في كلا المقطعين من منطقة الدراسة الشكل (8).



الشكل (8) مخطط الاستقرار термодинамический ثانوي المتغير لنظام كالسيت-دولوميت-ماء [23].

ويلاحظ أيضاً من خلال الدراسة الجيوكيميائية ارتفاع نسبة الألمنيوم والبوتاسيوم في العينات المأخوذة من مقطع شطحة وانخفاضها في العينات المأخوذة من مقطع رام ترزة حيث أن نسبة البوتاسيوم في مقطع رام ترزة كانت دون نسبة الكشف (0.01) وبالتالي لم تظهر في التحليل، يشير ذلك إلى زيادة عمق الحوض الروسي من شمال منطقة الدراسة باتجاه الجنوب حيث تشير علاقة الارتباط الإيجابية بين عنصري الألمنيوم والبوتاسيوم الشكل (9) إلى أن مصدر هذه العناصر هو المواد الأرضية الناتجة عن عمليات التجوية للصخور في منطقة المد والجزر [25] وبالتالي فإن محتوى الألمنيوم والبوتاسيوم يشير إلى نسبة المواد الأرضية في صخور الكربونات [26] [27] ووجودها يعكس تغيرات مستوى سطح البحر [28] [29] [30] [31] [32] [33] عندما ينخفض مستوى سطح البحر يزداد تعرض القارات لعمليات الحت والتعرية وبالتالي يزداد وجود المواد الأرضية. ومما يدعم تداخل المواد الحطامية في الصخور الكربوناتية ارتفاع نسبة الهولميوم (Ho) مقارنة مع الإيتيريوم (Y) حيث تكون نسبة الهولميوم كبيرة في المجلوبات القارية ومنخفضة في الأوساط البحرية على عكس الإيتيريوم ونظراً للتماثل في الشحنة بين الهولميوم والإيتيريوم والتقارب في نصف قطر الأيوني فإنهما يملكان نفس السلوك الكيميائي مما يسمح للهولميوم باستبدال الإيتيريوم في الصخر الكربوناتية [34] [35].



الشكل (9) علاقة الارتباط بين أكاسيد البوتاسيوم والألمنيوم. في مقطع شطحة.

الاستنتاجات والتوصيات:

تم التوصل إلى النتائج التالية:

- معظم بلورات الدولوميت في توضّعات الجوراسي الأدنى في منطقة الدراسة

ذات نسيج غير مستوي مما يشير إلى تشكّلها في درجات حرارة أكبر من

°60

- أدى الاختلاف في نسبة Ca/Mg في سوائل الدلمة إلى تشكّل النطاق

الدولوميتي والنطاق الدولوميتي الكلسي والنطاق الكالسيتي.

- تشير النسبة اللوغاريتمية لـ Ca/Mg إلى أن الدولوميت في توضّعات

الجوراسي الأدنى في منطقة الدراسة هو دولوميت نموذجي.

• تشير علاقة الارتباط الإيجابية بين عنصري الألمنيوم والبوتاسيوم وارتفاع
نسبة الهولميوم (Ho) مقارنة مع الإينيريوم (Y) إلى تداخل المواد
الحطامية في الصخور الكربوناتية.

يوصي البحث باستكمال دراسة محتوى العناصر الأثر والتراصية النادرة في باقي أجزاء
السلسلة الساحلية من أجل بناء صورة متكاملة لكافة العمليات الدياجينيزية التي حدثت في
المنطقة.

References:

- [1] ADAMS, J.E.; RHODES, M. L. 1960- Dolomitization by seepage refluxion. AAPG Bulletin. 44, 1912-1920.
- [2] FRIEDMAN, G. M.; SANDERS, J. E. 1967- Origin and occurrence of dolostones in: Chilingar, G. V; Bissell, H. J; Fairbridge, R. W (eds), Carbonate Rocks, Origin occurrence and classification. Elsevier, Amsterdam. 267-348.
- [3] HSU, K. J.; SCHNEIDER, J. 1973- Progress report on Dolomitization hydrology of Abu Dhabi Sabkhas: Arabian Gulf. In: Pureser, B.H.(ed) the Persian Gulf. Springer. Berlin, 409-422.
- [4] BADIOZAMANI, K. 1973- The dorag Dolomitization model – application to the Middle Ordovician of Wisconsin. Journal of sedimentary Petrology, 43, 965-984.
- [5] BAKER, P.A.; KASTNER, M. 1981- Constraints on the formation of sedimentary dolomite. Science. 213, 214-216

- [6] VASCONCELOS, C.; MCKENZIE, J. A.; BERNASCONI, S.; GRUJIC, D; TIENS, A. J. 1995- Microbial mediation as a possible mechanism for natural dolomite formation at low temperatures. Nature. 377, 220-222.
- [7] MACHEL, H. G. 2004- Concepts and models of dolomitization: a critical reappraisal. Geological Society, London, Special Publications. 235(1), 7-63.
- [8] EVAMY, B. D. 1967-Dedolomitization and the development of rhombohedral pores in limestones. Jour. Sed. Petrology. 37, 1204-1215.
- [9] KATZ, A. 1971-Zoned dolomite crystals. Journal of geology. 79, 38-51
- [10] ZHANG, J.; HE, Z.; XU, H. B; JI, H. C.; YUAN, Q.; SHI, J. A.; LU, X. C. 2012- Petrological characteristics and origin of Permian fengcheng formation dolomite rocks in wuerhe-fengcheng area, junggar basin. Acta sedimentol. Sin. 30(5), 859-867.
- [11] REN, Y.; ZHONG, D. K.; GAO, C. L.; YANG, X. Q.; XIE, R.; LI, Z. P.; DENG, M. X.; ZHOU, Y. C. 2016- Geochemical characteristics, genesis and hydrocarbon significance of dolomite in the Cambrian Longwangmiao formation, eastern Sichuan Basin. Acta Pet. Sin. 37(9), 1102-1115
- [12] WARREN, J. 2000- Dolomite: Occurrence, evolution and economically important associations. Earth-sci. Rev. 52(1-3), 1-81.
- [13] HU, W. X; CHEN, Q; WANG, X. L; GAO, J 2010- REE models for the discrimination of fluids in the formation and evolution of dolomite reservoirs. Oil Gas Geol. 31(6), 810-818.
- [14] ZHU, H.; YANG, G.; YUAN, B. G.; YING, D. L.; DAI, X.; ZHOU, H. F.; XU, S. Q.; TAN, J. K. 2020- Geological conditions,

resource potential and exploration direction of conventional gas in sichuan basin. Nat. gas geosci. 29(10), 1475-1485.

[15] IBRAHIM, A.; SALMAN, N.; MANSOUR, R 2020- **Petrological and geochemical study of dolomitization in the middle Jurassic rock of AL-Querdaha sheet.** Tishreen University Journal 42(5), 197-211.

[16] MOUTY, M. 1997- **The Jurassic of the Syrian coastal chine (Jibal As-Sahilyeh) : synthesis of the biozonation by larger Foraminifera.** C. R. Acad. Sci. Paris, Sciences de la terre et des planètes / Earth & Planetary Sciences. 325, 207-213 .

[17] PONIKAROV, V. P.; SHASKY, V. N.; KAZMIN, V. G.; KULAKOVE, V. V. 1967- **The geology of Syria. Explanatory Notes on the geological map of Syria. Scale 1/500000. Syrian Arab Republ.** Ministry of industry, Dept. Geol. Miner. Research.

[18] ROSKY, R., LAVEL, B., MOUTY, M., SHLSH, G., YOUSEF, S 1978a **Geological map of Jablah Sheet of 1/50000. Damascus.** General corporation for geology and mineral resources..

[19] ROSKY, R., SHLSH, G., YOUSEF, S., MOUTY, M., NASRY, S., ALOUSH, B., JAMIL, N., BALBAKY, M 1978 b- **Geological map of the AL Quer daha sheet of 1/50000. Damascus.** General corporation for geology and mineral resources..

[20] AGMEAN, J., KHATOUN, A. 1999-**Grological map of Latakia Sheet of 1/50000. Damascus.** General corporation for geology and mineral resources.

[21] YOUSEF, SHABO; BAALBAKI, MOHAMMAD; AJAMIAN, JACK; SULEIMAN, YOUSEF 1979a- **Geological map of the Al-Haffa block at a scale of 1:50,000. Damascus.** General Establishment of Geology and Mineral Resources

- [22]. YOUSEF, SHABO; BAALBAKI, MOHAMMAD; AJAMIAN, JACK 1979b- Geological map of the Al-Qadmus block at a scale of 1:50,000. Damascus. General Establishment of Geology and Mineral Resources
- [23] CARPENTER, A. B. 1980- The chemistry of dolomite formation I: the stability of dolomite. In: ZENGER, D.H., DUNHAM, J.B. • ETHINGTON, R.L. (eds) Concepts and Models' of Dolomitization. Society of Economic Paleontologists and Mineralogists, Special Publications, 28, 111-121.
- [24] GREGG, J. M.; SIBLEY, D.F. 1984- Epigenetic Dolomitization and the origin of xenotopic dolomite texture. Journal of sedimentary Petrology. 54, 908-931
- [25] XIA, J. W.; LI, L.; LUO, B.; ZHOU, Y. 2007-Cambrian depositional system in southwest Sichuan. J southwest Pet. Univ. 29 (4), 21-25.
- [26] HU, J. J.; LI, Q.; LI, J.; ZHANG, L.; KONG, X.; LIU, Y. 2014-Geochemical characteristics and its application to depositional environment analysis of Permian carbonates in Jiaomuri area Qiangtang basin. Gao, J china univ. 20(4), 520-527.
- [27] WANG, Y; SHI, Z.; QING, H.; TIAN, Y.; GONG, X. 2021-Petrological Characteristics, geochemical characteristics, and dolomite model of the lower Cambrian Longwangmiao formation in the periphery of the Sichuan basin, China. Journal of petroleum science and Engineering. 1-17.
- [28] LUDWIG, K. R.; HALLEY, R. B.; SIMMONS, K. R.; PETERMAN, Z. E. 1988-Strontium isotopic stratigraphy of enewetak atoll. Geology. 16(2), 173-177.
- [29] VEIZER, J. 1989- Strontium isotopes in sea water through time. Annu. Rev. Earth Planet. Sci. 17, 141-167.
- [30] MONTANEZ, I. P.; BANNER, J. L.; OSLEGER, D. A.; BORG, L. E.; BOSSERMAN, P. J. 1996- Integrated Sr isotope variations

and sea-level history of Middle to Upper Cambrian platform carbonates: implications for the evolution of Cambrian seawater
 $^{87}\text{Sr}/^{86}\text{Sr}$. Geology. 24(10), 917-920.

[31] QING, H. R.; BARNES, C. R.; BUHL, D.; VEIZER, J. 1998- **The strontium isotopic composition of Ordovician and Silurian brachiopods and condones: relationships to geological events and implications for coeval seawater**. Geochem. Cosmochim. 62(10), 1721-1733.

[32] STOLL, H . M.; SCHRAG, D. P. 1998- **Effect of quaternary sea level cycles on strontium in seawater**. Geochem, Cosmochim. Acta 62(7), 1107-1118.

[33] KRABBENHOFT, A; EISENHAUER, A; BOHM, F; VOLLSTAEDT, H; FIETZKE, J; LIEBETRAU, V; AUGUSTIN, N, PEUCKER, E. B; MULLER, M. N; HORN, C; HANSEN, B. T; NOLTE, N; WALLMANN, K 2010- **Constraining the marine strontium budget with natural strontium isotope fractionations ($^{87}\text{Sr}/^{86}\text{Sr}^*$, $\delta^{88/86}\text{Sr}$) of Carbonates, hydrothermal solution , and river Waters**. Geochem . Cosmochim. 74(14), 4097-4109.

[34] WANG, Y; SHI, Z.; QING, H.; TIAN, Y.; GONG, X. 2021- **Petrological Characteristics, geochemical characteristics, and dolomite model of the lower Cambrian Longwangmiao formation in the periphery of the Sichuan basin, China**. Journal of petroleum science and Engineering. 1-17.

[35] NOZAKI, Y.; ZHANG, J.; AMAKAWA, H.1997- **the fractionation between Y and Ho in the marine environment**. Earth and Planetary Science letters. 148, 329-340.